

Meteorološki izazovi 2:  
"Meteorologija u fokusu javnosti"

**Oborina u kompleksnoj topografiji simulirana  
regionalnim klimatskim modelom RCA3**

Ivan Güttler, Grigory Nikulin, Colin Jones

[ivan.guettler@cirus.dhz.hr](mailto:ivan.guettler@cirus.dhz.hr)

Zagreb, 6.-7. ožujka 2012.



Državni hidrometeorološki zavod  
[www.meteo.hr](http://www.meteo.hr)

Swedish Meteorological and  
Hydrological Institute  
[www.smhi.se](http://www.smhi.se)

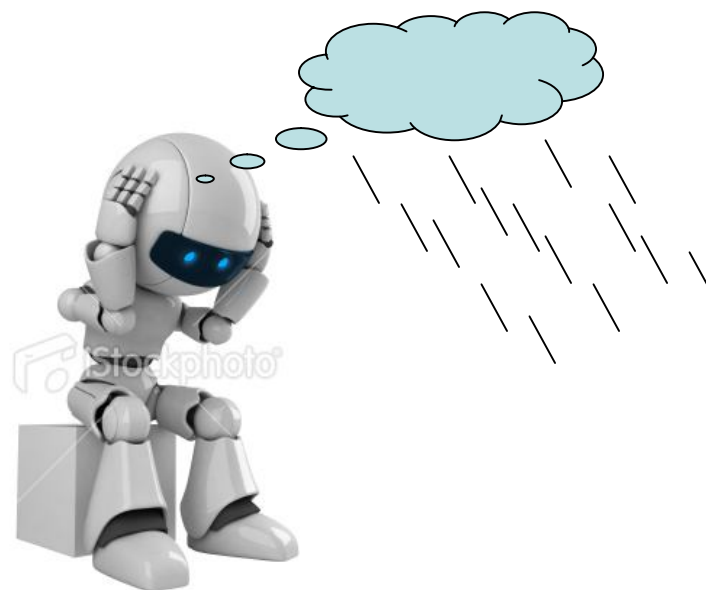


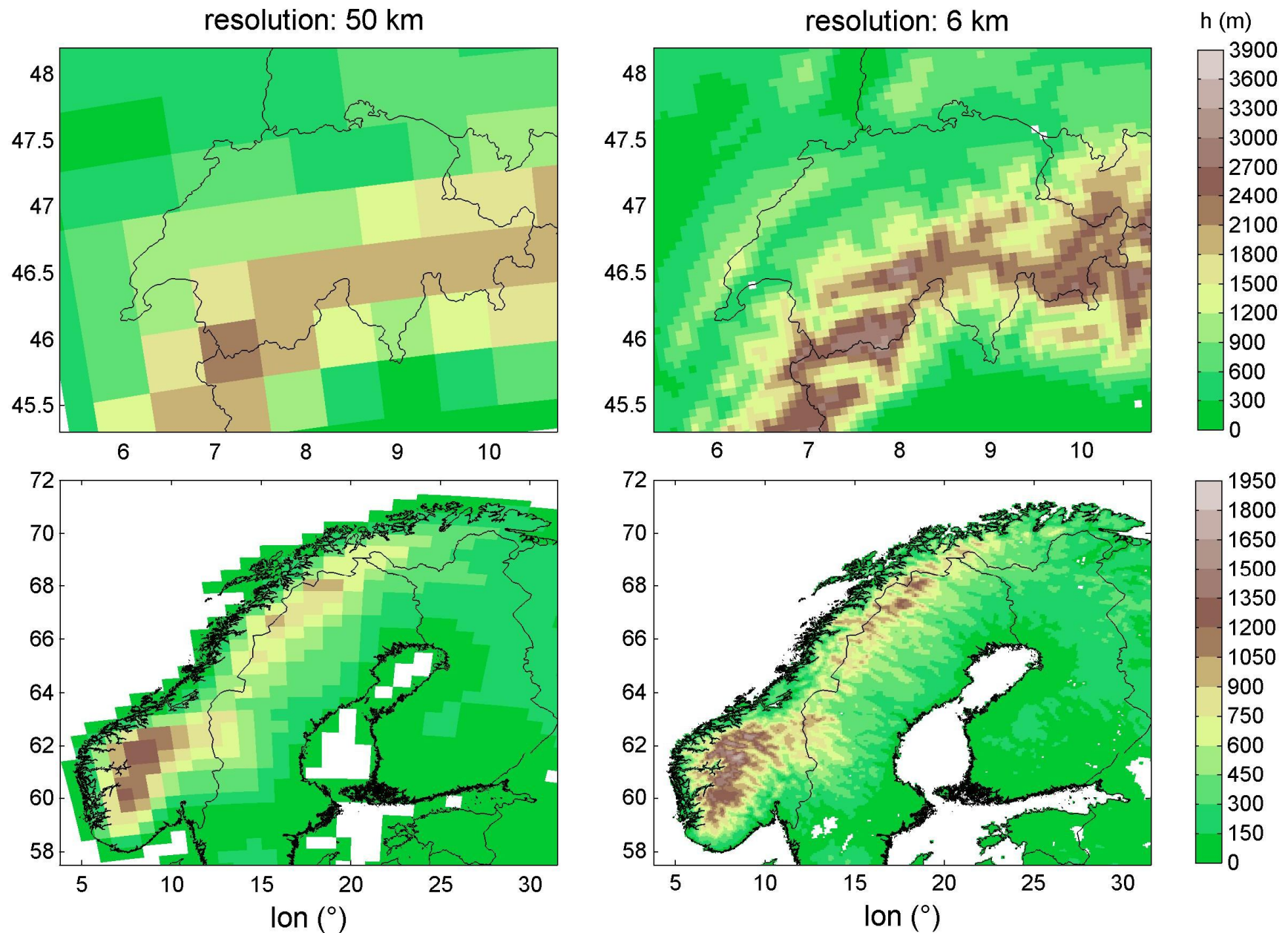
## Opis eksperimenta:

|                  |  |
|------------------|--|
| Mjerenja         | EOBSv4, EOBSv5 ( <b>50 km, 25 km</b> )<br>Haylock et al. (2008)<br><br>METEOSWISS RhiresD ( <b>2.2 km</b> )<br><a href="http://www.meteoswiss.admin.ch/web/en/services/data_portal/grided_datasets.html">www.meteoswiss.admin.ch/web/en/<br/>services/data_portal/grided_datasets.html</a><br><br>METNO KLIMAGRID ( <b>1 km</b> )<br>Mohr (2007) |
| Model            | RCA3 (~ <b>50 km, ~25 km, ~12 km, ~6 km</b> )<br>Samuelsson et al. (2011)  |
| Vremenski period | 1987-2008.   |



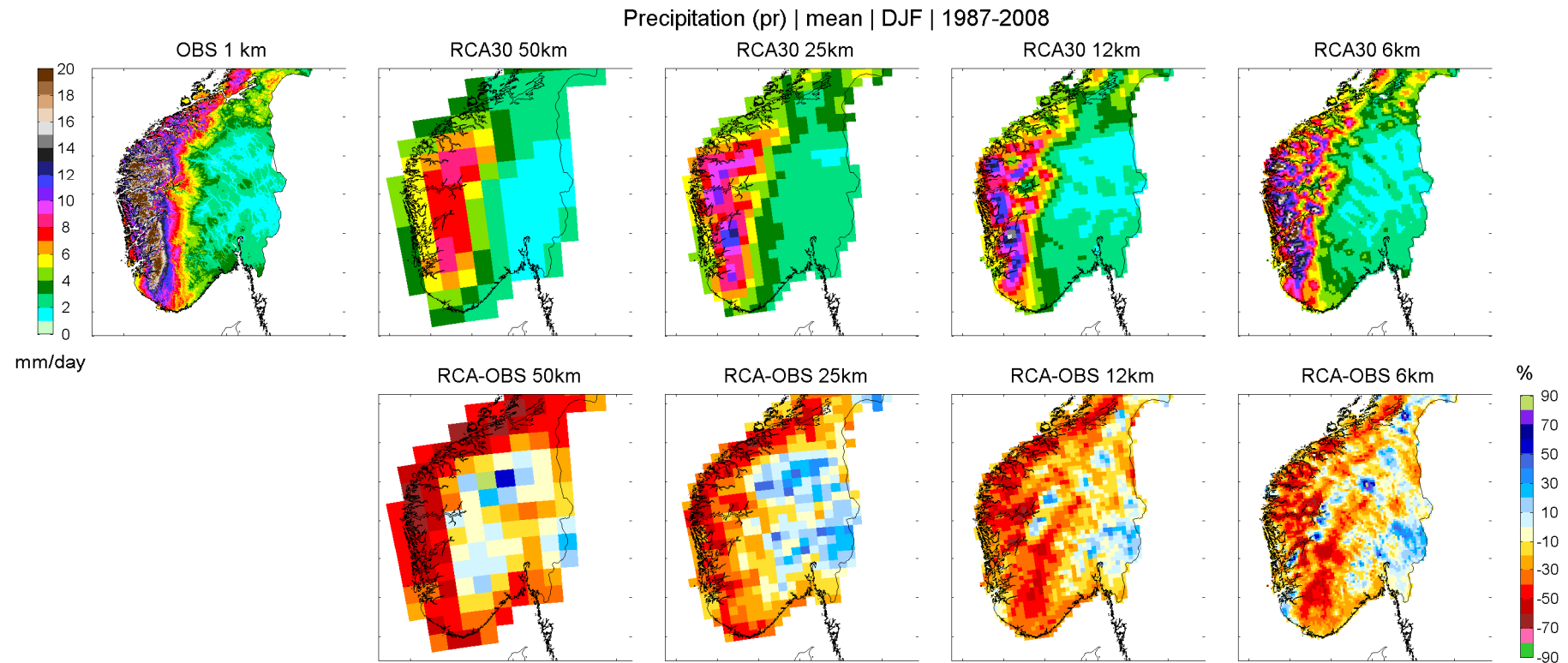
vs.





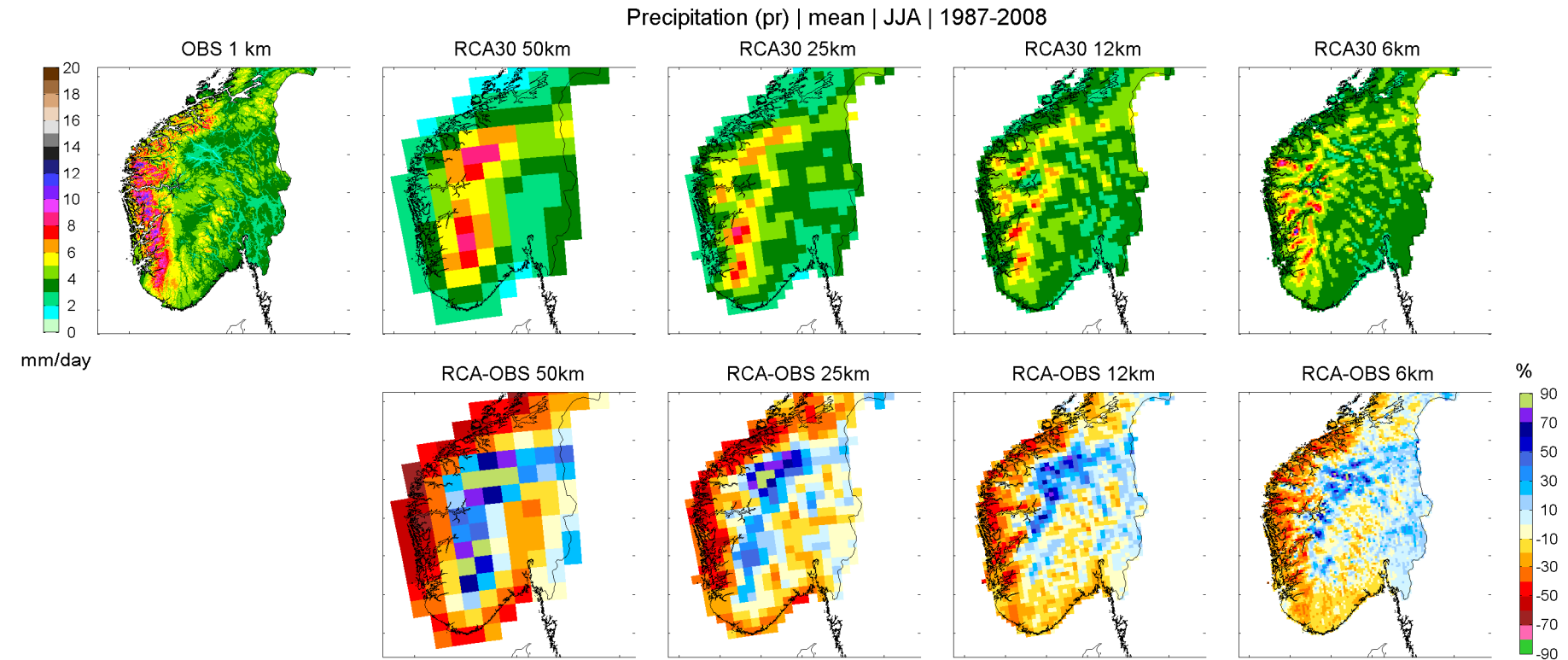
Visina topografije iznad Švicarske i Norveške u modelu RCA3 na rezolucijama 50 km i 6 km.

## Srednja ukupna količina oborine: DJF

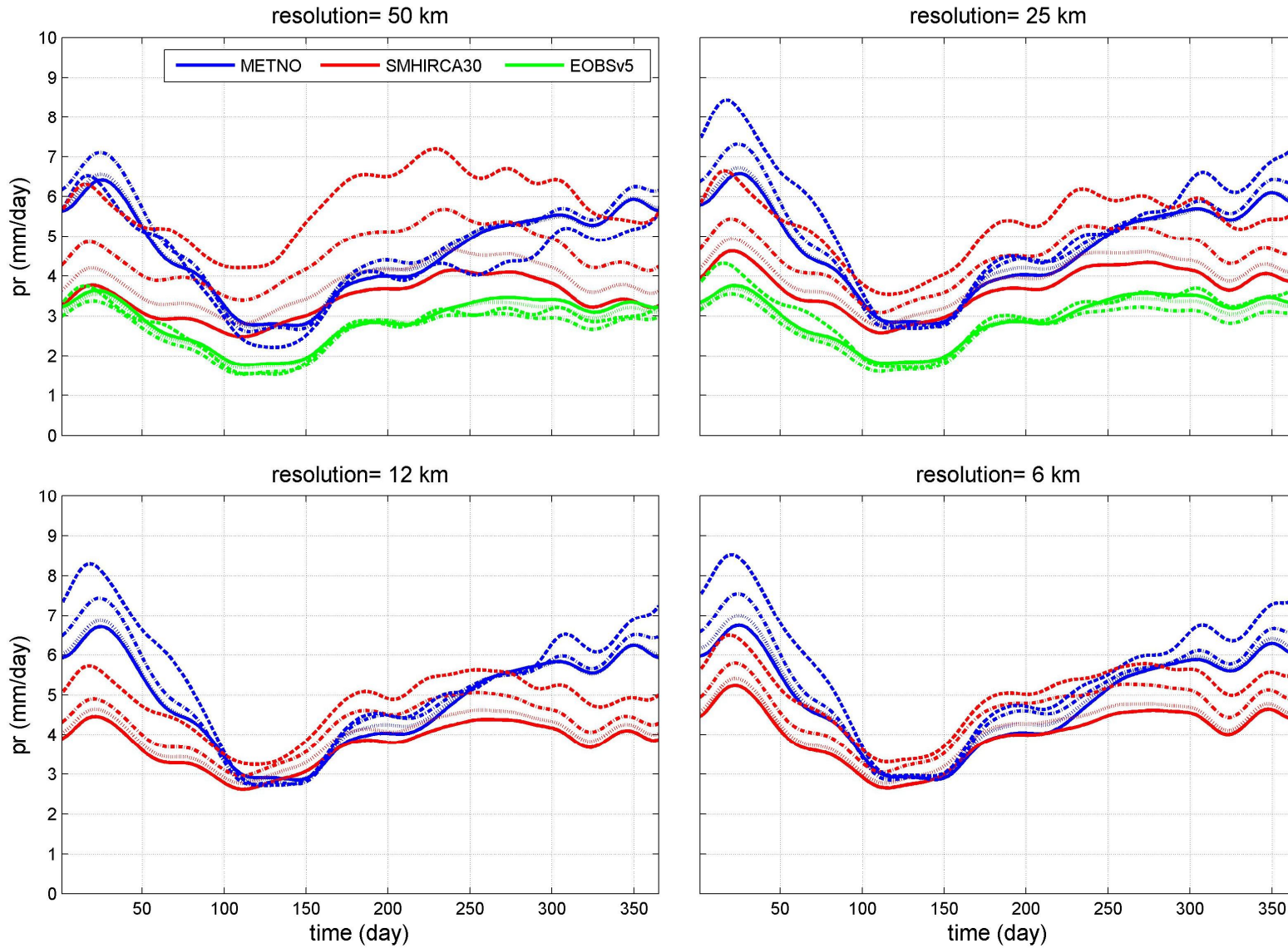


Srednja ukupna količina oborine zimi. Prikazana su puna polja u mjerjenjima i modelu (prvi red) te razlike između modela i mjerjenja (drugi red).

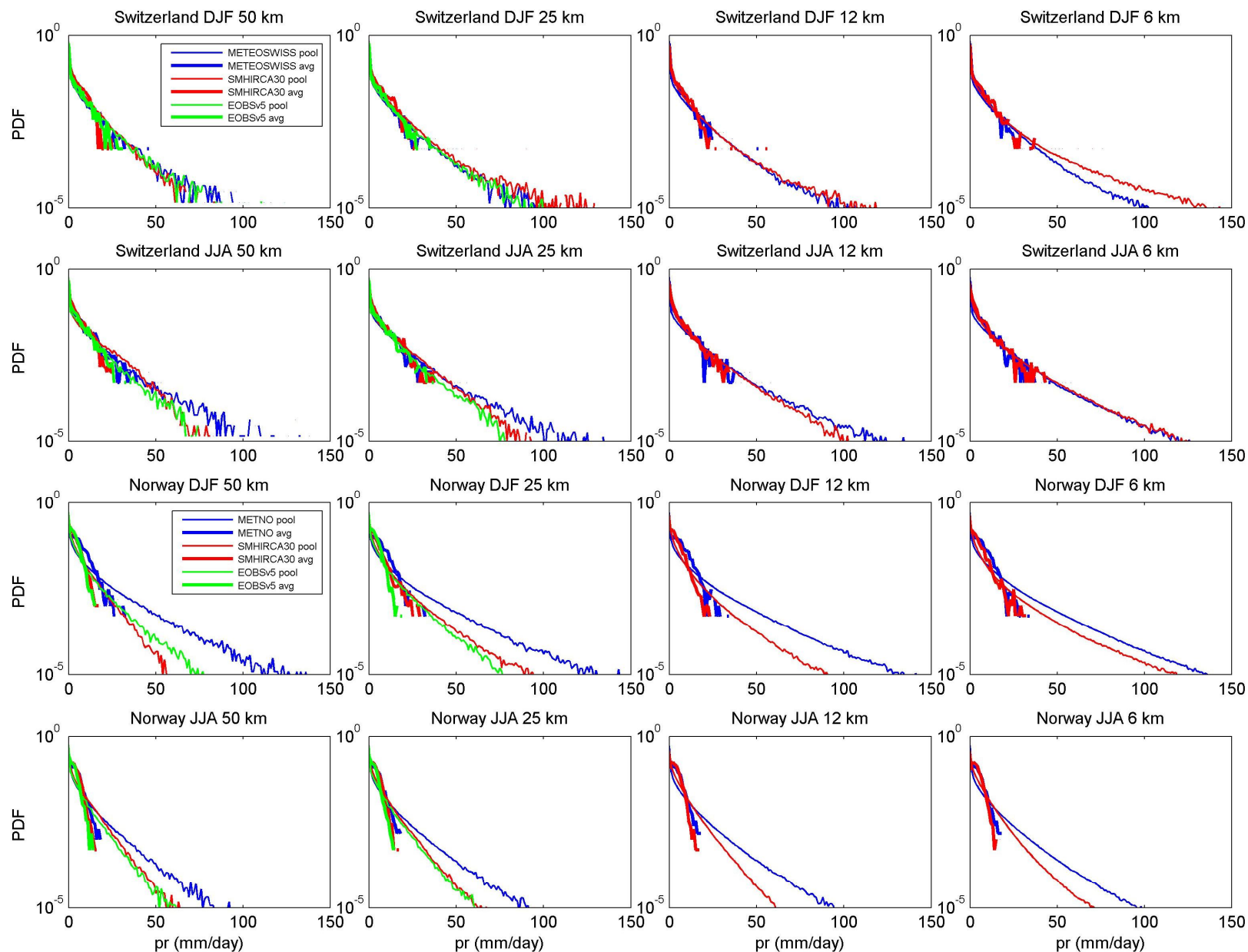
## Srednja ukupna količina oborine: JJA



Srednja ukupna količina oborine ljeti. Prikazana su puna polja u mjerjenjima i modelu (prvi red) te razlike između modela i mjerjenja (drugi red).

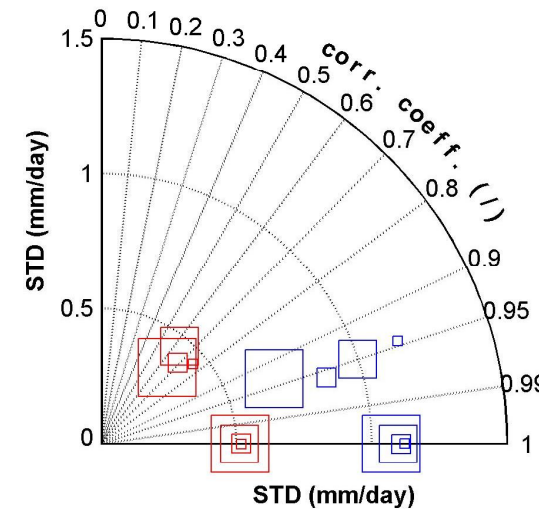
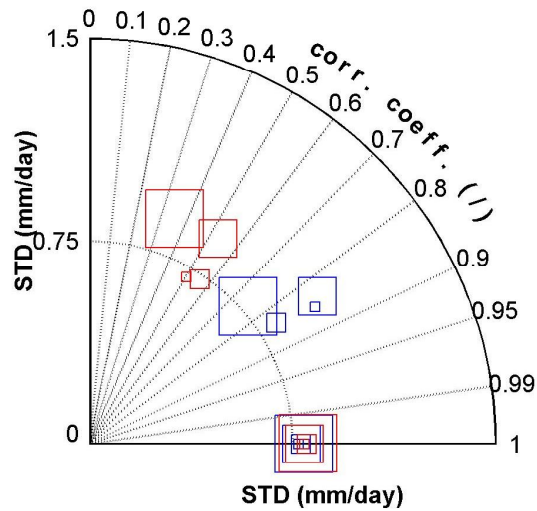


Srednji godišnji hod ukupne količine oborine iznad Norveške za simulacije na različitim rezolucijama ( \_\_ sve ćelije; ... ćelije iznad 300 m; \_.\_. ćelije iznad 700 m; --- ćelije iznad 1000 m). Na godišnjem hodu je primjenjen niskopropusni filter.

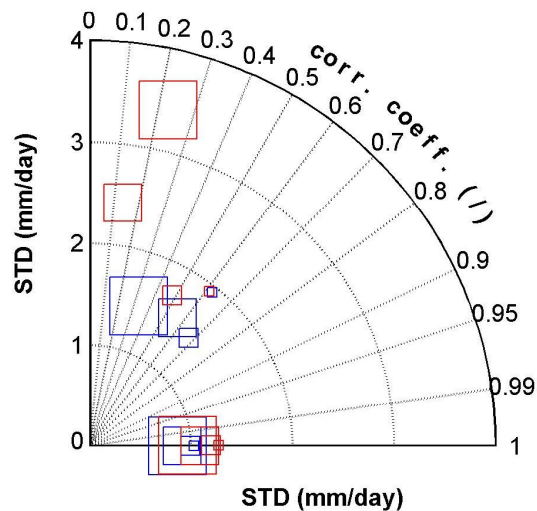


**Empiričke gustoće vjerojatnosti ukupne količine oborine iznad Švicarske (prvi red DJF, drugi red JJA) i Norveške (treći red DJF, četvrti red JJA). Prvi stupac predstavlja rezultate na 50 km, a četvrti stupac na 6 km.**

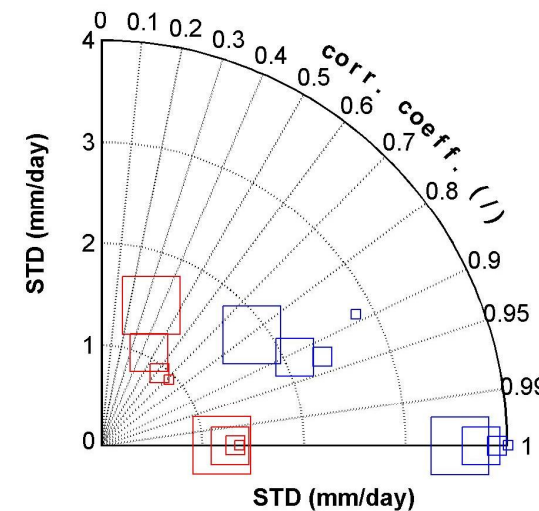
Temporal variability, DJF (blue) /JJA (red), Switzerland Temporal variability, DJF (blue) /JJA (red), Norway



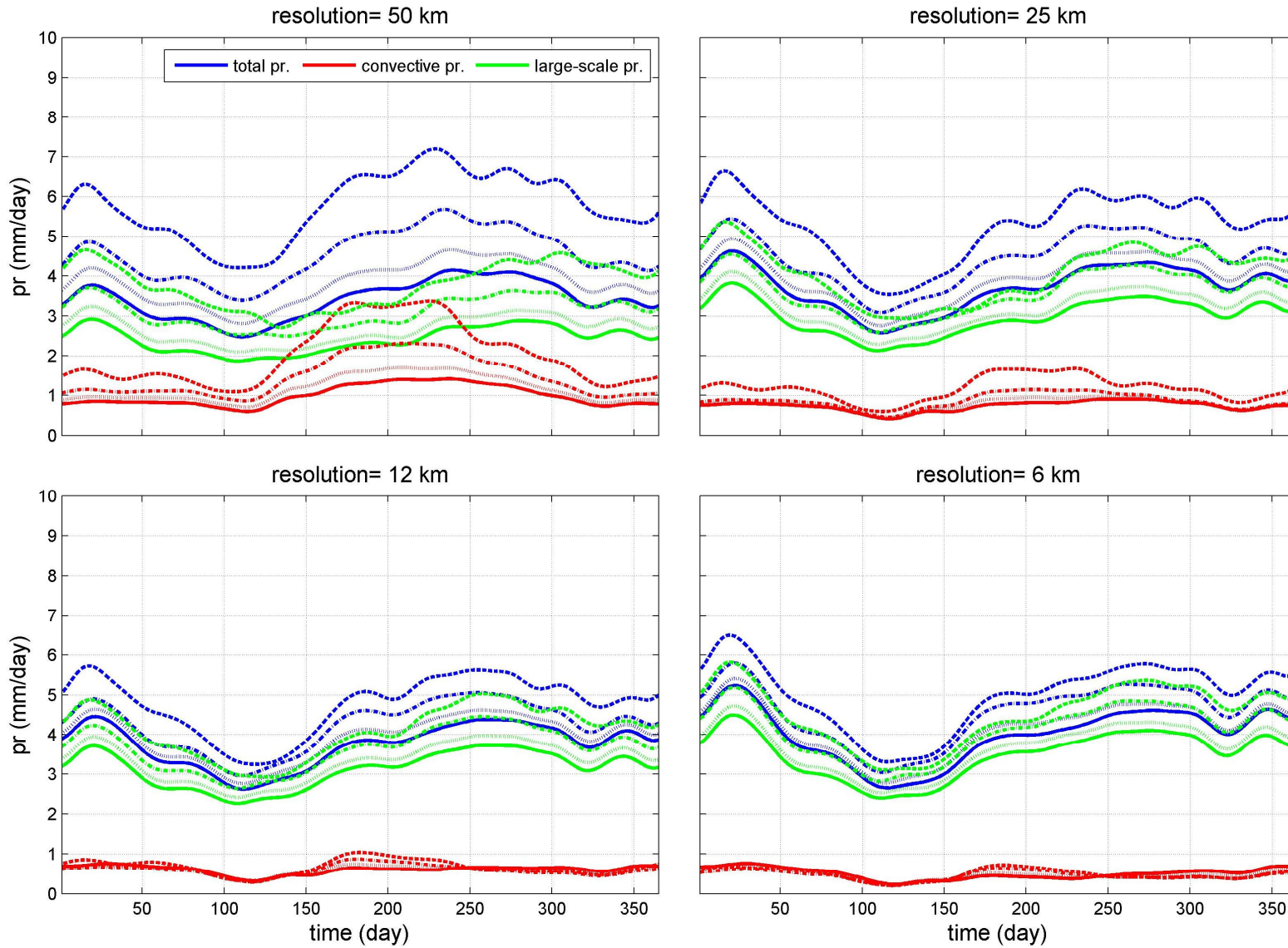
Spatial variability, DJF (blue) /JJA (red), Switzerland



Spatial variability, DJF (blue) /JJA (red), Norway



**Taylorovi dijagrami ukupne količine oborine zimi i ljeti iznad Švicarske (prvi stupac) i Norveške (drugi stupac). Najveći kvadratič predstavlja rezultate na 50 km, a najmanji rezultate na 6 km.**

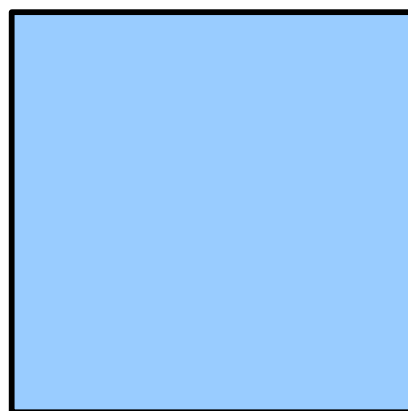


Srednji godišnji hod ukupne količine oborine iznad Norveške te konvektivne oborine i oborine zbog kondenzacije na velikoj skali za simulacije na različitim rezolucijama (— sve ćelije; ... ćelije iznad 300 m; -.-. ćelije iznad 700 m; --- ćelije iznad 1000 m). Na godišnjem hodu je primjenjen niskopropusni filter.

## Oborina velike skale vs. konvektivna oborina

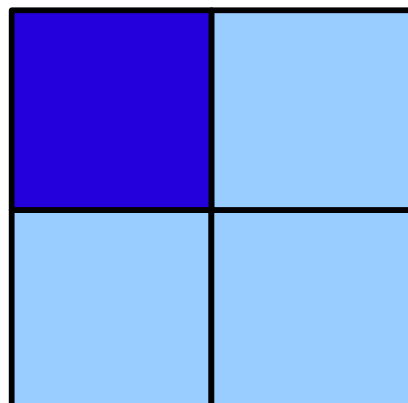
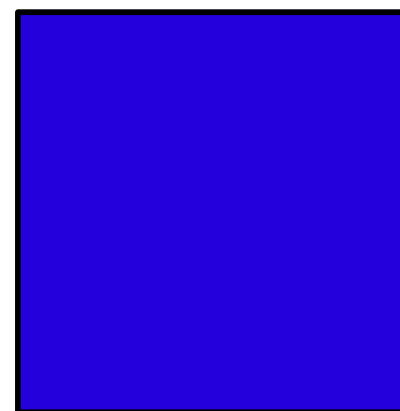
“Nezasićena” ćelija

- a) uz prisutnu nestabilnost moguća konvektivna oborina



“Zasićena” ćelija

- a) uz prisutnu nestabilnost moguća konvektivna oborina
- b) oborina zbog kondenzacije na velikoj skali



Porast u rezoluciji > smanjenje konvektivne oborine i povećanje oborine velike skale.

Dodatno promjene u cirkulaciji.

## Sažetak

1. RCA3 model općenito precijenjuje (podcijenjuje) ukupnu količinu oborine u visinskim (nizinskim i obalnim) područjima.
2. Povećanjem horizontalne rezolucije poboljšavaju se razna svojstva ljetne oborine: višegodišnji srednjak, prostorna i vremenska varijabilnost i ekstremna oborina.
3. Dodana vrijednost pri povećanju rezolucije se uočava u prijelazima od 50 km do 12 km. Simulacije na 6 km nisu bitno kvalitetnije u smislu oborine od 12 km.
4. Odnos između konvektivne oborine i oborine na velikoj skali je bitno ovisan o rezoluciji.

**Hvala na pažnji!**

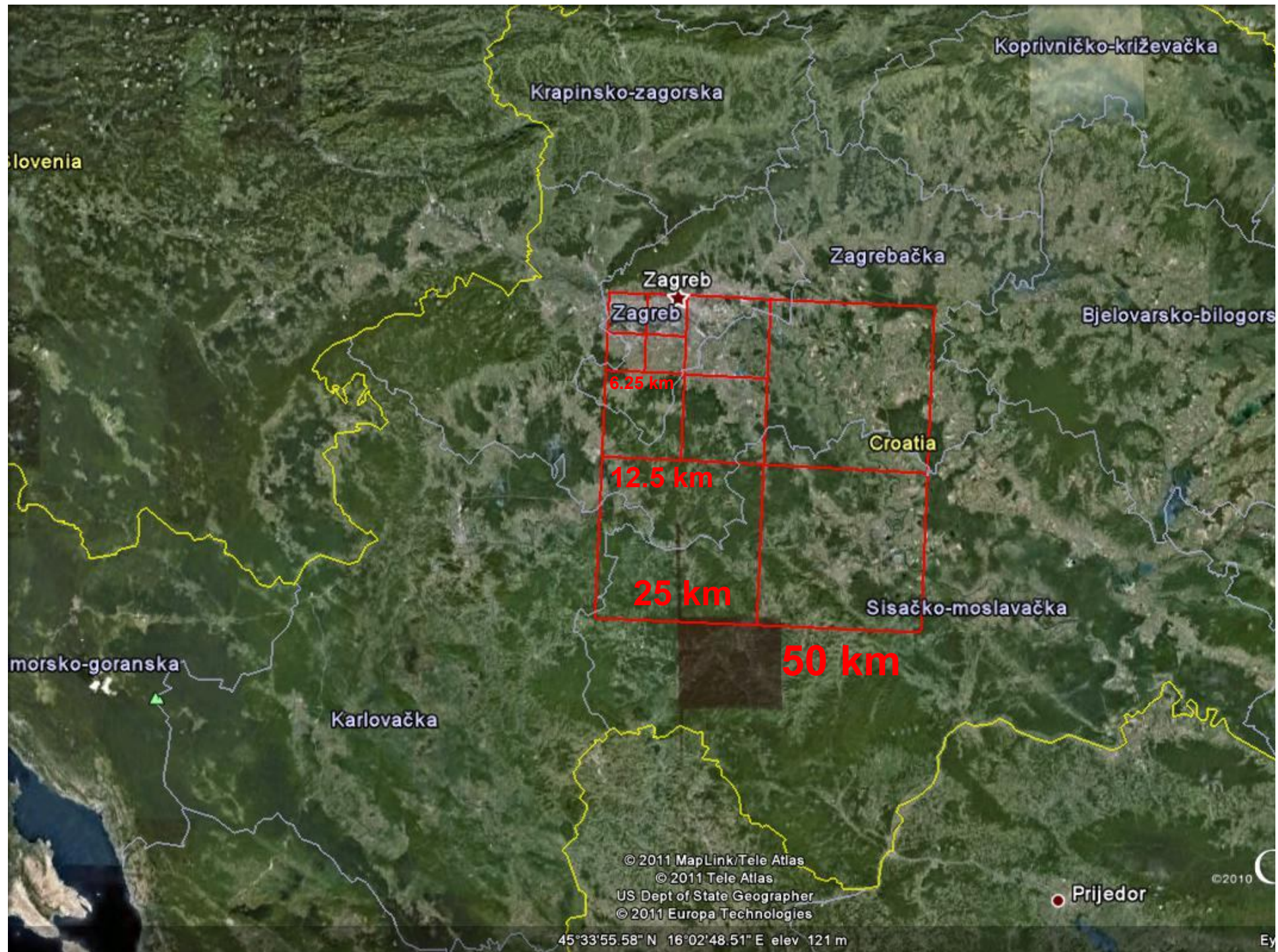


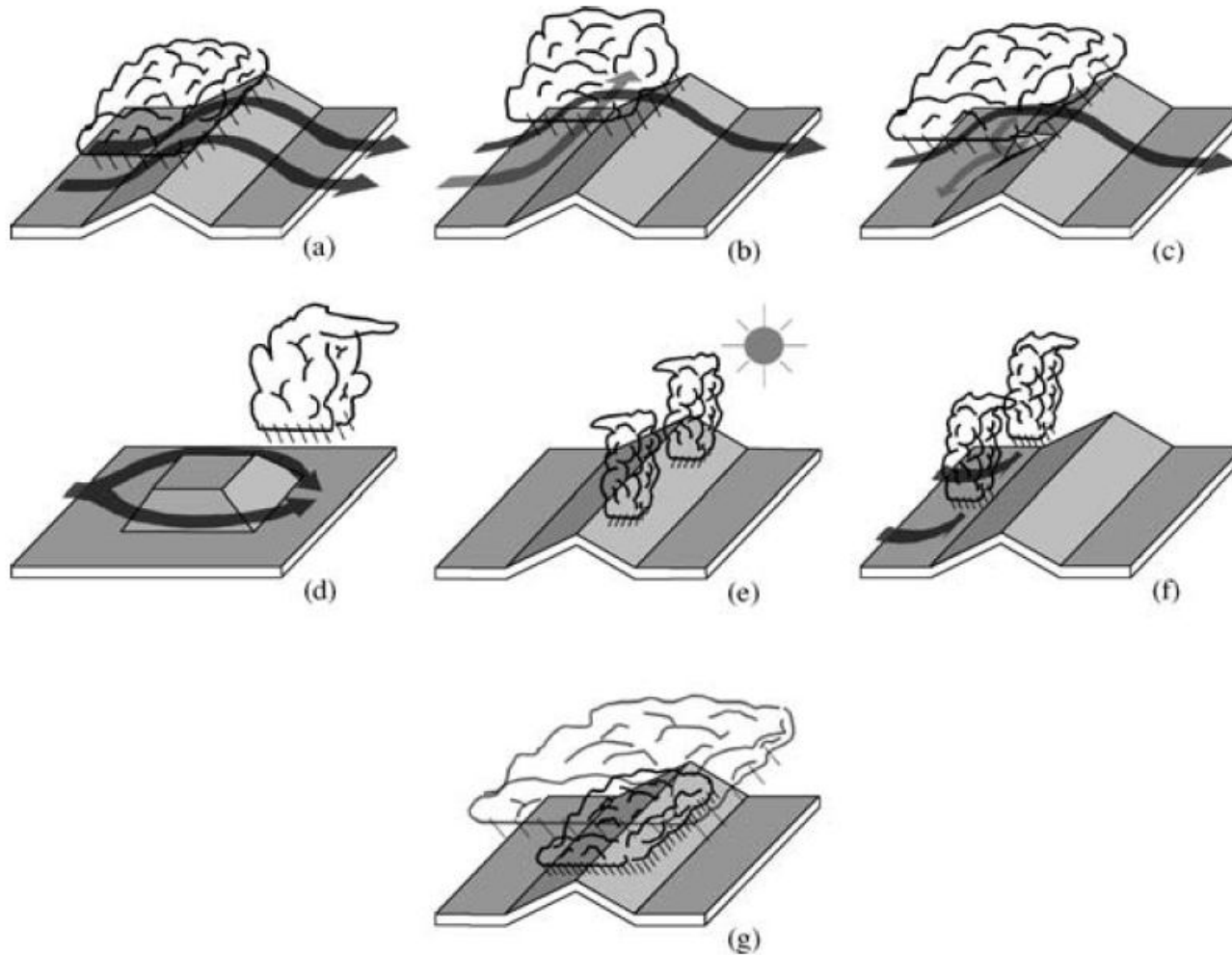
Državni hidrometeorološki zavod  
[www.meteo.hr](http://www.meteo.hr)

Swedish Meteorological and  
Hydrological Institute  
[www.smhi.se](http://www.smhi.se)



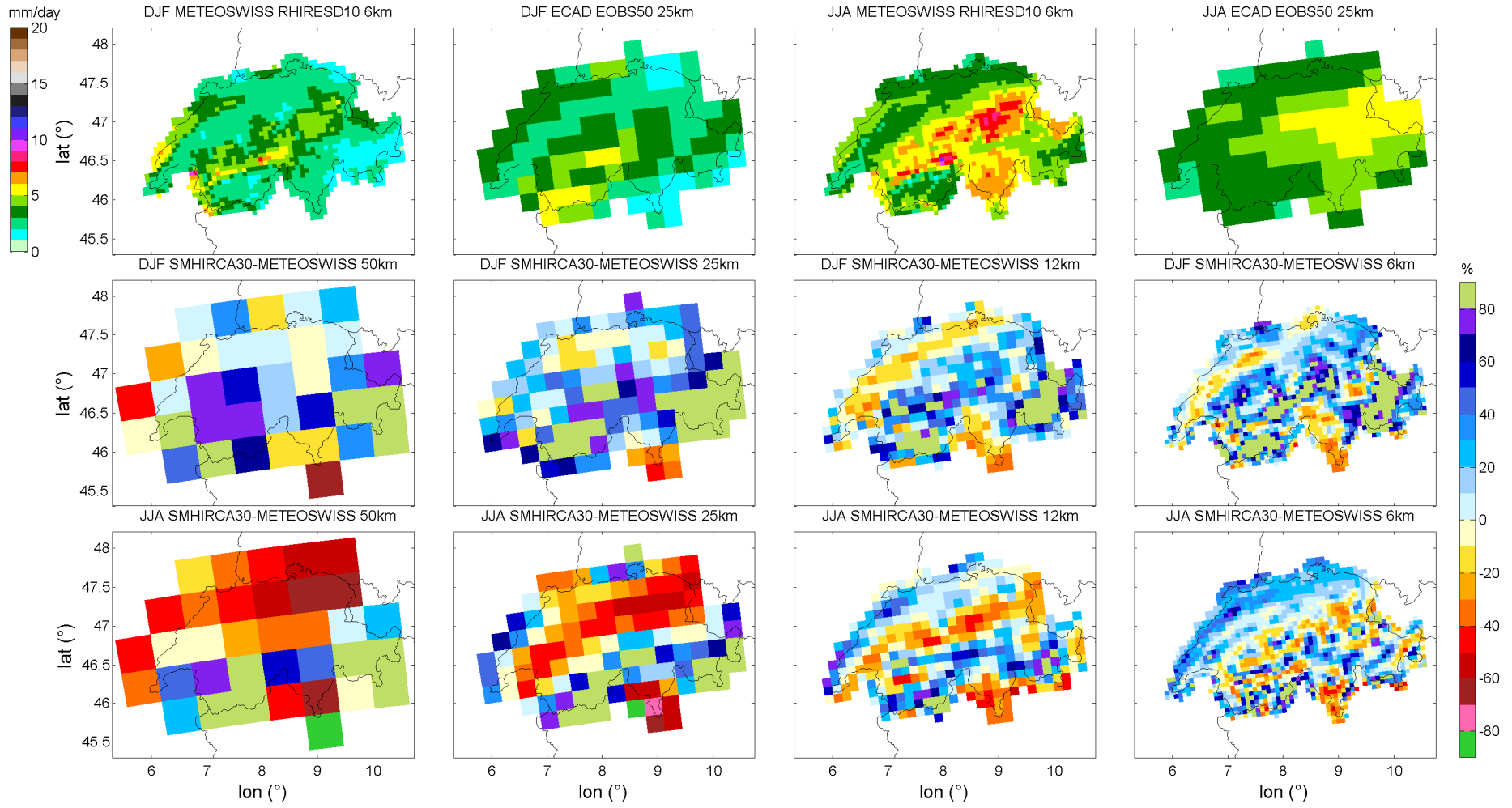






**Figure 6** Schematic illustrations of different mechanisms of orographic precipitation. (a) stable upslope ascent, (b) partial blocking of the impinging air mass, (c) down-valley flow induced by evaporative cooling, (d) lee-side convergence, (e) convection triggered by solar heating, (f) convection owing to mechanical lifting above level of free convection, and (g) seeder-feeder mechanism. See text for more details.

Roe GH, 2005: Orographic Precipitation, *Annu Rev Earth Planet Sci*, 33:645-671,  
doi: 10.1146/annurev.earth.33.092203.122541



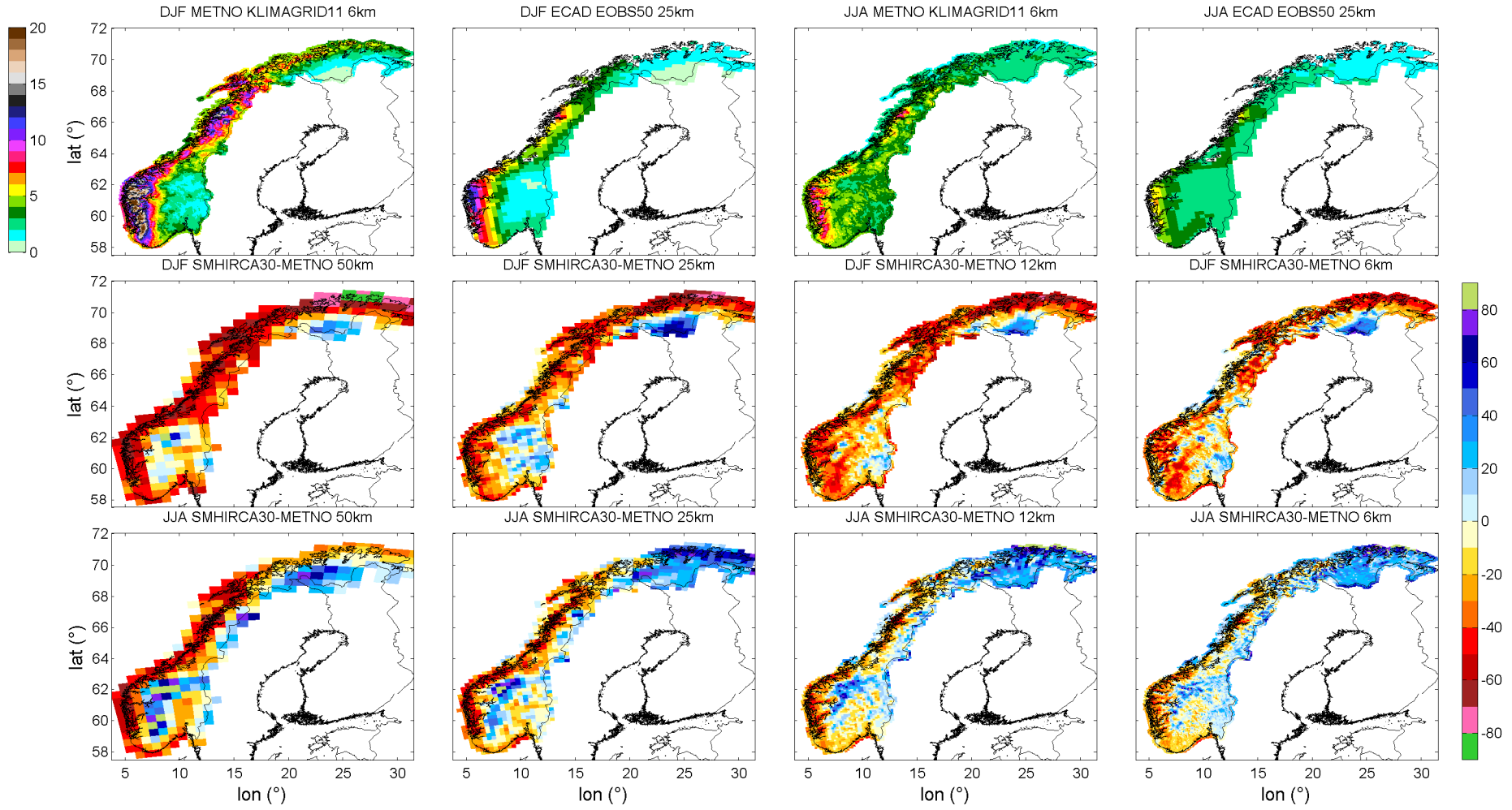


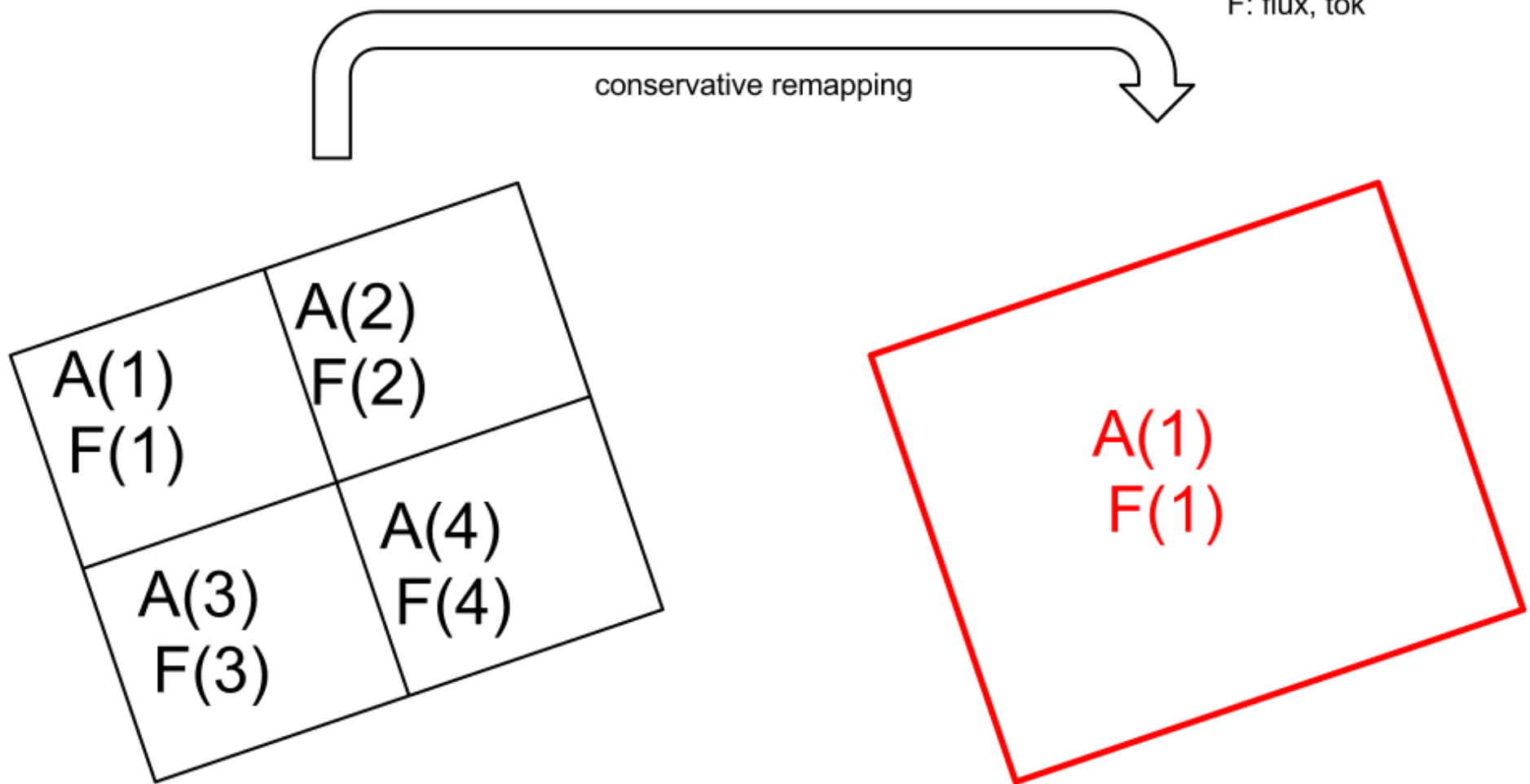
Table 1: Differences between area mean of mean seasonal precipitation in E-OBS v4, E-OBS v5 and RhiresD (KLIMAGRID) over Switzerland (Norway).

|     |       | Switzerland:<br>E-OBS v5 -<br>RhiresD<br>(mm/day) | Switzerland:<br>E-OBS v5 - v4<br>(mm/day) | Norway:<br>E-OBS v5 -<br>KLIMAGRID<br>(mm/day) | Norway:<br>E-OBS v5 - v4<br>(mm/day) |
|-----|-------|---|---|--|--------------------------------------|
| DJF | 50 km | 0.03  | 0.015                                     | -2.36  | -0.008                               |
|     | 25 km | 0.13  | 0.029                                     | -2.34  | -0.007                               |
| MAM | 50 km | -0.27   | -0.009                                    | -1.27  | -0.007                               |
|     | 25 km | -0.18   | -0.005                                    | -1.24  | -0.006                               |
| JJA | 50 km | -0.66   | -0.020                                    | -0.93  | -0.014                               |
|     | 25 km | -0.58   | -0.021                                    | -0.96  | -0.011                               |
| SON | 50 km | -0.44   | 0.001                                     | -1.89  | -0.007                               |
|     | 25 km | -0.36   | 0.008                                     | -1.85  | -0.005                               |

Table 2: Area mean of mean seasonal precipitation observed in Switzerland (RhiresD data) and Norway (KLIMAGRID data) and error of RCA3 model.

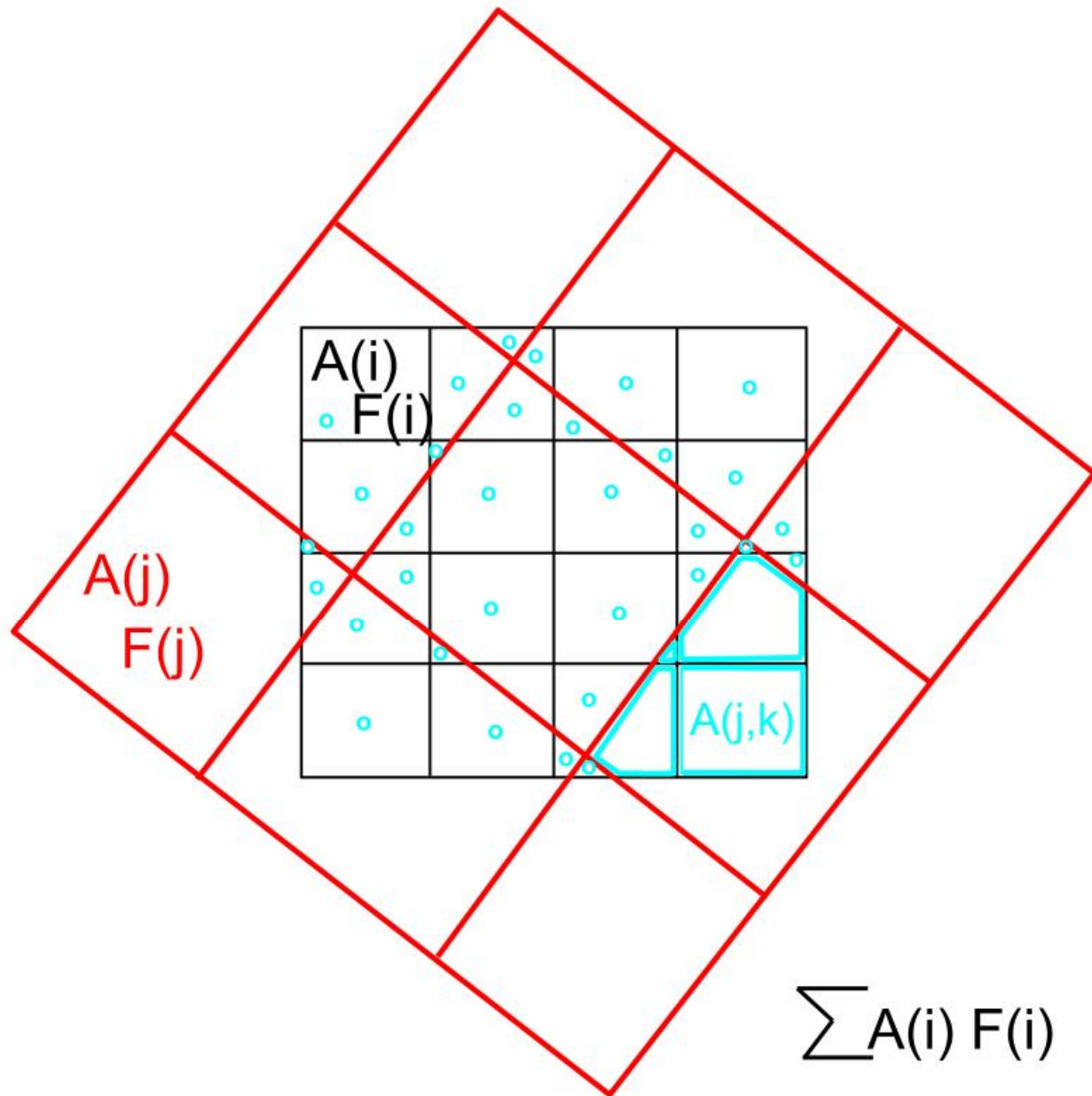
|     |         | Switzerland:<br>obs (mm/day) | Switzerland:<br>bias (mm/day) | Norway: obs<br>(mm/day) | Norway: bias<br>(mm/day) |
|-----|---------|------------------------------|-------------------------------|-------------------------|--------------------------|
| DJF | 50 km   | 2.97                         | 0.84                          | 5.65                    | -2.42                    |
|     | 25 km   | 2.98                         | 1.19                          | 5.68                    | -1.76                    |
|     | 12.5 km | 2.96                         | 0.60                          | 5.73                    | -1.89                    |
|     | 6.25 km | 2.95                         | 0.88                          | 5.76                    | -1.41                    |
| MAM | 50 km   | 3.56                         | 1.25                          | 3.27                    | -0.80                    |
|     | 25 km   | 3.62                         | 1.14                          | 3.28                    | -0.54                    |
|     | 12.5 km | 3.62                         | 0.85                          | 3.30                    | -0.55                    |
|     | 6.25 km | 3.61                         | 0.80                          | 3.31                    | -0.48                    |
| JJA | 50 km   | 4.50                         | 0.36                          | 3.72                    | -0.47                    |
|     | 25 km   | 4.63                         | 0.28                          | 3.76                    | -0.31                    |
|     | 12.5 km | 4.68                         | 0.21                          | 3.81                    | -0.19                    |
|     | 6.25 km | 4.70                         | 0.63                          | 3.84                    | -0.11                    |
| SON | 50 km   | 4.00                         | 0.68                          | 5.17                    | -1.67                    |
|     | 25 km   | 3.98                         | 0.87                          | 5.19                    | -1.29                    |
|     | 12.5 km | 3.97                         | 0.47                          | 5.23                    | -1.29                    |
|     | 6.25 km | 3.93                         | 0.47                          | 5.25                    | -1.06                    |

A: area, površina  
F: flux, tok



$$\sum A(i) F(i) = A(1) F(1)$$

A: area, površina  
F: flux, tok



$$\sum A(i) F(i) = \sum \sum A(j,k) F(j)$$